

Электродинамический анализ зеркальных антенн самосогласованным методом

© Д.С. Ключев, Ю.В. Соколова

Поволжский государственный университет телекоммуникаций и информатики,
443010 Самара, Россия
e-mail: klyuevd@yandex.ru

(Поступило в Редакцию 29 января 2014 г.)

Работа посвящена электродинамическому анализу зеркальных антенн (ЗА) самосогласованным методом. Математическая модель таких антенн сведена к системе двумерных гиперсингулярных интегральных уравнений (ГСИУ). В качестве примера проведен анализ ЗА с рефлектором в виде параболического цилиндра. Представлены диаграммы направленности такой антенны, а также распределения плотности токов на поверхностях рефлектора и облучателя.

Анализ любой ЗА сводится к решению задачи дифракции электромагнитной волны, возбуждаемой облучателем, на рефлекторе (зеркале). Как известно, существует ряд методов решения подобных задач, среди которых можно выделить следующие: метод геометрической оптики, метод физической оптики и асимптотические методы (геометрическая теория дифракции (ГТД) и физическая теория дифракции (ФТД)). Эти методы имеют ряд существенных ограничений, одно из которых — это невозможность корректного расчета поля в ближней зоне излучения, что очень важно при решении задач электромагнитной совместимости.

В последние десятилетия разработаны строгие методы, основанные на решении уравнений Максвелла методом конечных разностей во временной области, например, метод FDTD. Он применен, в частности, в распространенных в настоящее время коммерческих программах CST MicrowaveStudio и Ansoft HFSS. Однако для расчета сложных антенных систем с помощью этих программ требуются громадные вычислительные ресурсы.

Этих недостатков лишен метод интегральных уравнений. Общий подход к решению задач дифракции таким методом развит в работах А.С. Ильинского. В [1] последовательно исследуются математические модели теории дифракции, дано математическое обоснование корректности математических задач, исследованы вопросы существования и единственности решений задач теории дифракции. Метод сингулярных интегральных уравнений для электродинамического анализа одномерных излучающих структур развит в работах В.А. Неганова [2]. Решение задач дифракции на незамкнутых поверхностях методом ГСИУ [3] описано в [4]. В настоящей работе описан метод электродинамического анализа ЗА, основанный на математическом аппарате ГСИУ.

При расчете будем использовать следующую физическую модель ЗА. ЗА в общем случае может иметь несколько рефлекторов и облучателей, а антенная система может состоять из нескольких ЗА, и так как их электродинамический анализ выполняется по одному

принципу, то при общей постановке задачи не будем делать разницы между рефлекторами и облучателями, а назовем их излучающими структурами. Итак, ЗА представляет собой N излучающих структур (рис. 1). Каждая n -я излучающая структура представляет собой бесконечно тонкую идеально проводящую поверхность S_n , возбуждаемую электромагнитным полем, которое в общем случае является суперпозицией полей волн, отраженных от других структур и стороннего поля, возбужденного генератором, подключенного к данной структуре, если данная структура является облучателем. Как конкретно происходит запитывание облучателей, в настоящей работе не рассматривается, предполагается лишь, что питающий фидер идеально согласован с облучателем. Справедливо следующее выражение для определения напряженности электрического поля \mathbf{E} , возбуждаемого токами всех N излучателей, входящих в состав антенны,

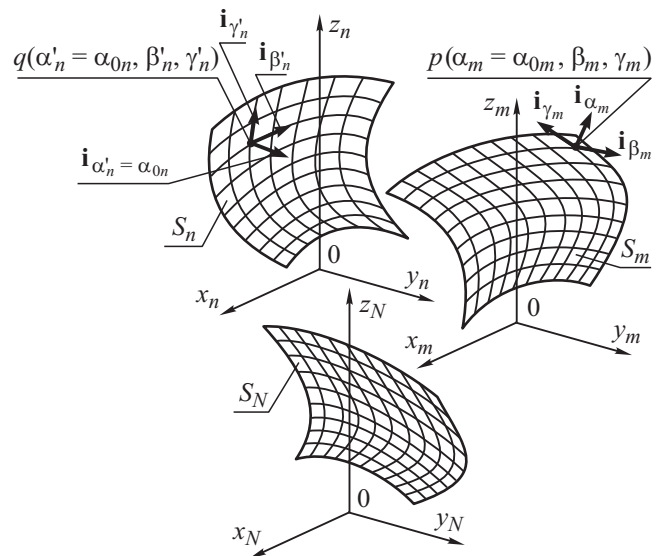


Рис. 1. Геометрия зеркальной антенны с произвольной формой рефлекторов и облучателей.

в данной точке пространства:

$$i\omega\varepsilon_a \mathbf{E} = \sum_{n=1}^N \int_S \left[k^2 \boldsymbol{\eta}_n(q) G(p, q) + \text{grad}_p \text{div}_p (\boldsymbol{\eta}_n(q) G(p, q)) \right] dS, \quad (1)$$

где ω — циклическая частота, ε_a — абсолютная диэлектрическая проницаемость среды, k — волновое число, $G(p, q)$ — функция Грина, p, q — координаты точки наблюдения и точки источника соответственно, S_n — излучающая поверхность, $\boldsymbol{\eta}_n(q)$ — плотность полного тока, наведенного на поверхности S_n (т.е. сумма плотностей токов, наведенных на обеих ее сторонах) [4]. Индекс p в операторах div и grad означает, что дифференцирование производится по координатам точек наблюдения. Используя известное соотношение [5]

$$\text{div}_p (\boldsymbol{\eta}_n(q) G(p, q)) = (\text{grad}_p G(p, q), \boldsymbol{\eta}_n(q)) + G(p, q) \text{div}_p \boldsymbol{\eta}_n(q)$$

и учитывая, что в рассматриваемом случае $\text{div}_p \boldsymbol{\eta}_n(q) = 0$, выражение (1) можно преобразовать к виду

$$i\omega\varepsilon_a \mathbf{E} = \sum_{n=1}^N \int_S \left[k^2 \boldsymbol{\eta}_n(q) G(p, q) + \text{grad}_p (\text{grad}_p G(p, q), \boldsymbol{\eta}_n(q)) \right] dS. \quad (2)$$

Каждый n -й излучатель привяжем к системе координат. В общем случае это криволинейная система координат, причем для удобства дальнейших расчетов для каждой n -й структуры выберем свою систему координат $\alpha_n, \beta_n, \gamma_n$ в соответствии с их геометрической формой. Излучающая поверхность n -го излучателя S_n совпадает с частью координатной поверхности $\alpha_n = \alpha 0_n$, ограниченной по координате β_n отрезком $[\beta_{n1}, \beta_{n2}]$, а по координате γ_n отрезком $[\gamma_{n1}, \gamma_{n2}]$. Плотность тока на поверхности излучателя $\boldsymbol{\eta}_n(q)$ будет иметь лишь две составляющие (касательные к поверхности S_n) — $\eta_{n\beta'}$ и $\eta_{n\gamma'}$. Переходя от векторных выражений (2) к скалярным и подставляя их в граничные условия $E_{m\tau_m} = -E_{m\tau_m}^{\text{ext}}$ ($\tau_m = \beta_m, \gamma_m$), где $E_{m\tau_m}^{\text{ext}}$ — тангенциальная составляющая напряженности стороннего электрического поля на поверхности m -го излучателя, равная напряженности поля волны, подведенной от генератора, если структура является облучателем, и равная нулю, если структура является рефлектором, можно записать следующую систему интегральных уравнений относительно неизвестных составляющих плотности тока на

излучателях — $\eta_{n\beta'}$ и $\eta_{n\gamma'}$:

$$-i\omega\varepsilon_a E_{m\tau_m}^{\text{ext}} = \sum_{n=1}^N \int_{\beta_{n1}}^{\beta_{n2}} \int_{\gamma_{n1}}^{\gamma_{n2}} \left[k^2 (\eta_{n\beta'} \xi_{\beta'_n \tau_m} + \eta_{n\gamma'} \xi_{\gamma'_n \tau_m}) G_{nm} + \frac{1}{h_{\tau_m}} \frac{\partial}{\partial \tau_m} \left(\frac{1}{h_{\alpha_m}} \frac{\partial G_{nm}}{\partial \alpha_m} (\eta_{n\beta'} \xi_{\beta'_n \alpha_m} + \eta_{n\gamma'} \xi_{\gamma'_n \alpha_m}) + \frac{1}{h_{\beta_m}} \frac{\partial G_{nm}}{\partial \beta_m} (\eta_{n\beta'} \xi_{\beta'_n \beta_m} + \eta_{n\gamma'} \xi_{\gamma'_n \beta_m}) + \frac{1}{h_{\gamma_m}} \frac{\partial G_{nm}}{\partial \gamma_m} (\eta_{n\beta'} \xi_{\beta'_n \gamma_m} + \eta_{n\gamma'} \xi_{\gamma'_n \gamma_m}) \right) \right] h_{\beta'_n} h_{\gamma'_n} d\beta'_n d\gamma'_n, \quad (3)$$

где

$$G_{nm} = G(\alpha 0_m, \beta_m, \gamma_m, \alpha 0_n, \beta'_n, \gamma'_n) = \frac{\exp[-ikR(\alpha 0_m, \beta_m, \gamma_m, \alpha 0_n, \beta'_n, \gamma'_n)]}{4\pi R(\alpha 0_m, \beta_m, \gamma_m, \alpha 0_n, \beta'_n, \gamma'_n)},$$

$$R_{nm}(\alpha 0_m, \beta_m, \gamma_m, \alpha 0_n, \beta'_n, \gamma'_n) = \left[(x(\alpha 0_m, \beta_m, \gamma_m) - x(\alpha 0_n, \beta'_n, \gamma'_n))^2 + (y(\alpha 0_m, \beta_m, \gamma_m) - y(\alpha 0_n, \beta'_n, \gamma'_n))^2 + (z(\alpha 0_m, \beta_m, \gamma_m) - z(\alpha 0_n, \beta'_n, \gamma'_n))^2 \right]^{\frac{1}{2}},$$

$h_{\alpha, \beta, \gamma}$ — коэффициенты Ламе, R_{nm} — расстояние от точки источника $q(\alpha 0_n, \beta'_n, \gamma'_n)$, находящейся на поверхности n -го излучателя ($n = \overline{1, N}$), до точки наблюдения $p(\alpha 0_m, \beta_m, \gamma_m)$, находящейся на поверхности m -го излучателя ($m = \overline{1, N}$), ξ_{qp} — элементы матрицы ортогонального поворота, которые по сути являются проекциями единичных ортов $\mathbf{i}_{\alpha'}, \mathbf{i}_{\beta'}, \mathbf{i}_{\gamma'}$ на единичные орты $\mathbf{i}_\alpha, \mathbf{i}_\beta, \mathbf{i}_\gamma$ при переносе первых параллельно самим себе из точки источника $q(\alpha', \beta', \gamma')$ в точку наблюдения $p(\alpha, \beta, \gamma)$.

Некоторые ядра интегральных уравнений (3) являются сингулярными и гиперсингулярными, так как при $R_{nm} = 0$ они обращаются в бесконечность. Такая ситуация возможна только для слагаемого с $n = m$, которое

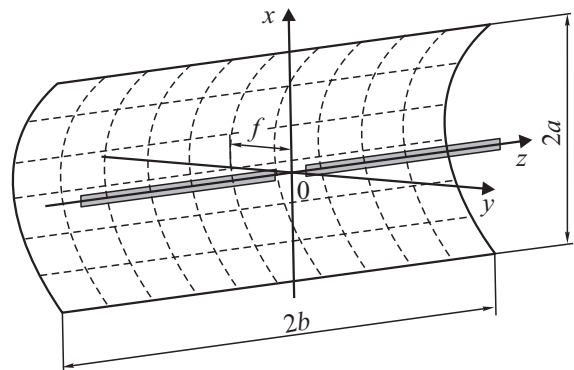


Рис. 2. Зеркальная антенна с рефлектором в виде параболического цилиндра.

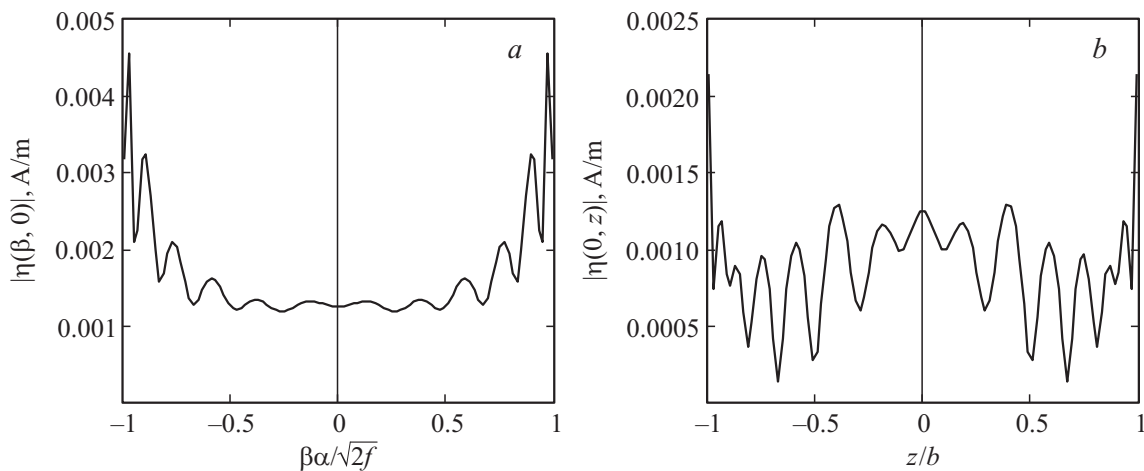


Рис. 3. Распределение плотности тока на рефлекторе: *a* — сечение $z = 0$, *b* — сечение $\beta = 0$.

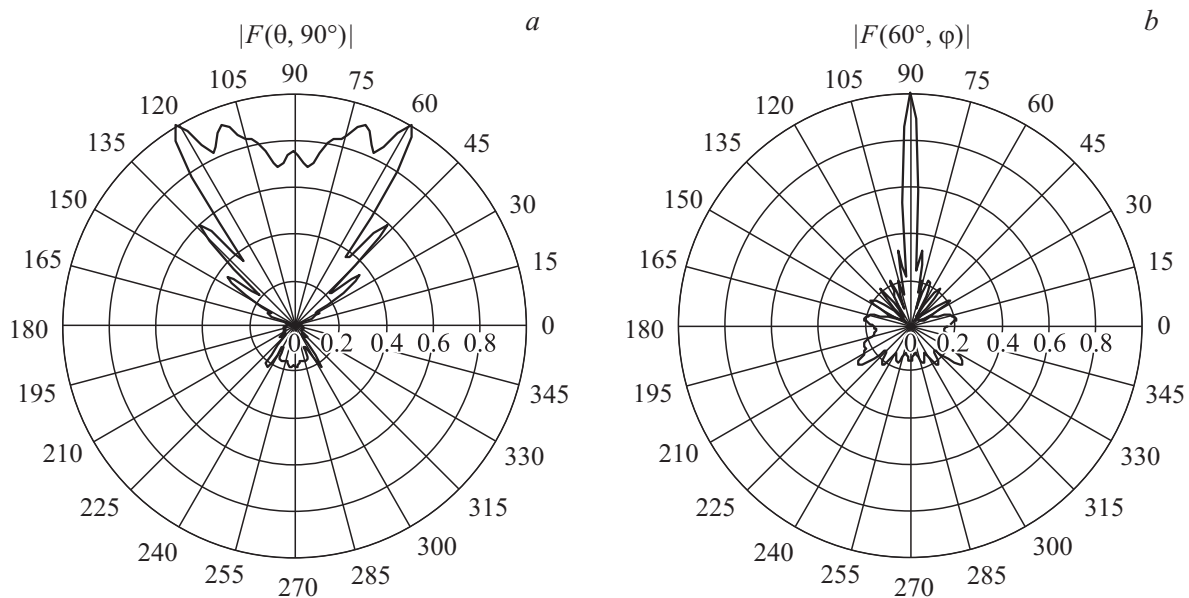


Рис. 4. Диаграммы направленности зеркальной антенны с рефлектором в виде параболического цилиндра: *a* — $F(\theta, 90^\circ)$ (в горизонтальной плоскости $\varphi = 90^\circ$), *b* — $F(60^\circ, \varphi)$ (в вертикальной плоскости $\theta = 60^\circ$).

соответствует полю, наводимому токами излучателя на его же собственной поверхности. Для того чтобы упростить в дальнейшем численный алгоритм решения этой системы, необходимо выделить особенности в сингулярных и гиперсингулярных ядрах следующим образом. Необходимо к функции Грина G_{mm} прибавить и вычесть слагаемое

$$G_{m0} = \frac{1}{4\pi} \left(\frac{1}{R_{mm}} - ik - \frac{k^2 R_{mm}}{2} \right).$$

Функция G_{m0} является произведением разложения функции $\exp(-ikR_{mm})$ в ряд Тейлора в окрестности точки $R_{mm} = 0$ на R_{mm}^{-1} . После выделения особенностей решить систему ГСИУ (3) можно, например, методом дискретных вихрей [3].

В качестве примера рассмотрим ЗА с рефлектором в виде параболического цилиндра. Рефлектор представляет собой бесконечно тонкий идеально проводящий параболический цилиндр с фокусом f (рис. 2). Его раскрыв (апертура) имеет конечные размеры $2a \times 2b$. Рефлектор возбуждается облучателем. В качестве облучателя использован полосковый вибратор, который представляет собой бесконечно тонкую идеально проводящую полосу длиной $2l$ и шириной $2w$, возбуждаемую в зазоре шириной 2Δ генератором высокой частоты. Ширина вибратора много меньше его длины и длины волны, поэтому при дальнейшем анализе учитывается лишь продольная составляющая плотности тока на его поверхности $\eta_{z'}^{refl}$, т.е. будем считать $\eta_{x'}^{refl} = 0$. Для анализа облучателя (вибратора) будем использовать декартову систему координат, а для анализа рефлектора удобно использовать

систему координат параболического цилиндра α, β, z [5]. Система ГСИУ (3) позволяет использовать для анализа рефлектора и облучателя различные системы координат.

Были рассчитаны характеристики ЗА с рефлектором в виде параболического цилиндра с апертурой $10\lambda \times 10\lambda$ и фокусом $f = 3\lambda$. В качестве облучателя использован полуволновый вибратор ($2l = 0.5\lambda$) шириной $2w = 0.05\lambda$, расположенный в фокусе рефлектора.

На рис. 3 представлены распределения модуля плотности тока на поверхности рефлектора

$$\left| \sqrt{\eta_{\beta}^2(\beta, z) + \eta_z^2(\beta, z)} \right|$$

(a — сечение $z = 0$, b — сечение $\beta = 0$).

На рис. 4 представлены диаграммы направленности. Как видно из рисунка, основная часть энергии падающей волны отражается от зеркала, однако так как зеркало имеет конечные размеры, часть ее проходит за него. В вертикальной плоскости происходит фокусировка. Результаты расчетов совпали с результатами численного моделирования в системе CST Microwave Studio. Предложенной методикой несложно рассчитывать характеристики ЗА с рефлекторами более сложной формы (параболоид, гиперболоид и т.д.), а также с другими облучателями.

Список литературы

- [1] Ильинский А.С., Кравцов В.В., Свешников А.Г. Математические модели электродинамики. М.: Высшая школа, 1991. 224 с.
- [2] Неганов В.А. Физическая регуляризация некорректных задач электродинамики. М.: Сайнс-Пресс, 2008. 450 с.
- [3] Вайникко Г.М., Лифанов И.К., Полтавский Л.Н. Численные методы в гиперсингулярных интегральных уравнениях и их приложения. М.: Янус-К, 2001. 508 с.
- [4] Давыдов А.Г., Захаров Е.В., Пименов Ю.В. Метод численного решения задач // ДАН СССР. 1984. Т. 276. № 1. С. 96–100.
- [5] Анго А. Математика для электро- и радиоинженеров. Пер. с франц. / Под ред. К.С. Шифрина. М.: Наука, 1965. 780 с.